



# T.D.2

## EX1: coefficients d'induction

①  $(C_1)$  est une bobine plate  $(O_1, R_1)$ , de  $N_1$  spires circulaires parcourue par un courant d'intensité  $I_1$ .

$(C_1)$  est assimilée à une spire circulaire  $(O_1, R_1)$  parcourue par un courant d'intensité égale à  $N_1 I_1$ .

. Le champ d'induction magnétique créé au centre  $O_1$

par  $(C_1)$  :  $B_1(O_1) = \mu_0 \frac{N_1 I_1}{2 R_1}$

. Le coefficient d'induction propre ou inductance propre :

$$L_1 = \frac{\Phi_{11}}{I_1} > 0$$

où  $\Phi_{11} = N_1 \Phi_{1\text{-spire}_1} \approx N_1 \iint_{S_1} \frac{\mu_0 N_1 I_1}{2 R_1} dS_1$

- $S_1$  = surface du disque limité par la spire 1 de  $(C_1)$ :
- de rayon  $R_1$  étant petit, on suppose qu'en tout point de la surface  $S_1$  le champ d'induction magnétique

est égal à  $\mu_0 \frac{N_1 I_1}{2 R_1}$

- $\vec{B}_1(O_1)$  et la surface  $S_1$  sont orientés par le courant d'intensité  $I_1$  conformément à la règle du tire-bouchon  $\Rightarrow \vec{B}_1(O_1) \cdot d\vec{S}_1 = \frac{\mu_0 N_1 I_1}{2 R_1} dS_1$

d'où  $\phi_{11} = N_1^2 \frac{\mu_0 \pi R_1^2}{2 R_1} I_1 = \left[ N_1^2 \frac{\mu_0 \pi R_1}{2} \right] I_1$

On en déduit l'inductance propre  $L_1$  de  $(C_1)$  :

$$L_1 = N_1^2 \frac{\mu_0 \pi R_1}{2}$$

de même : on trouve  $L_2 = N_2^2 \frac{\mu_0 \pi R_2}{2}$  l'inductance

propre du circuit  $(C_2)$

2) Déterminons le coefficient d'induction mutuelle  $M$  des deux circuits  $(C_1)$  et  $(C_2)$ :

a cas où  $(C_1)$  et  $(C_2)$  sont dans un même plan  $\Delta_y$  et  $O_1 \equiv O_2$

$$\text{On a } M = \frac{\Phi_{12}}{I_1} = \frac{\Phi_{21}}{I_2}$$

Calculons  $\Phi_{12}$ :

$$\Phi_{12} \cong N_2 \Phi_{1\text{-spire}_2}$$

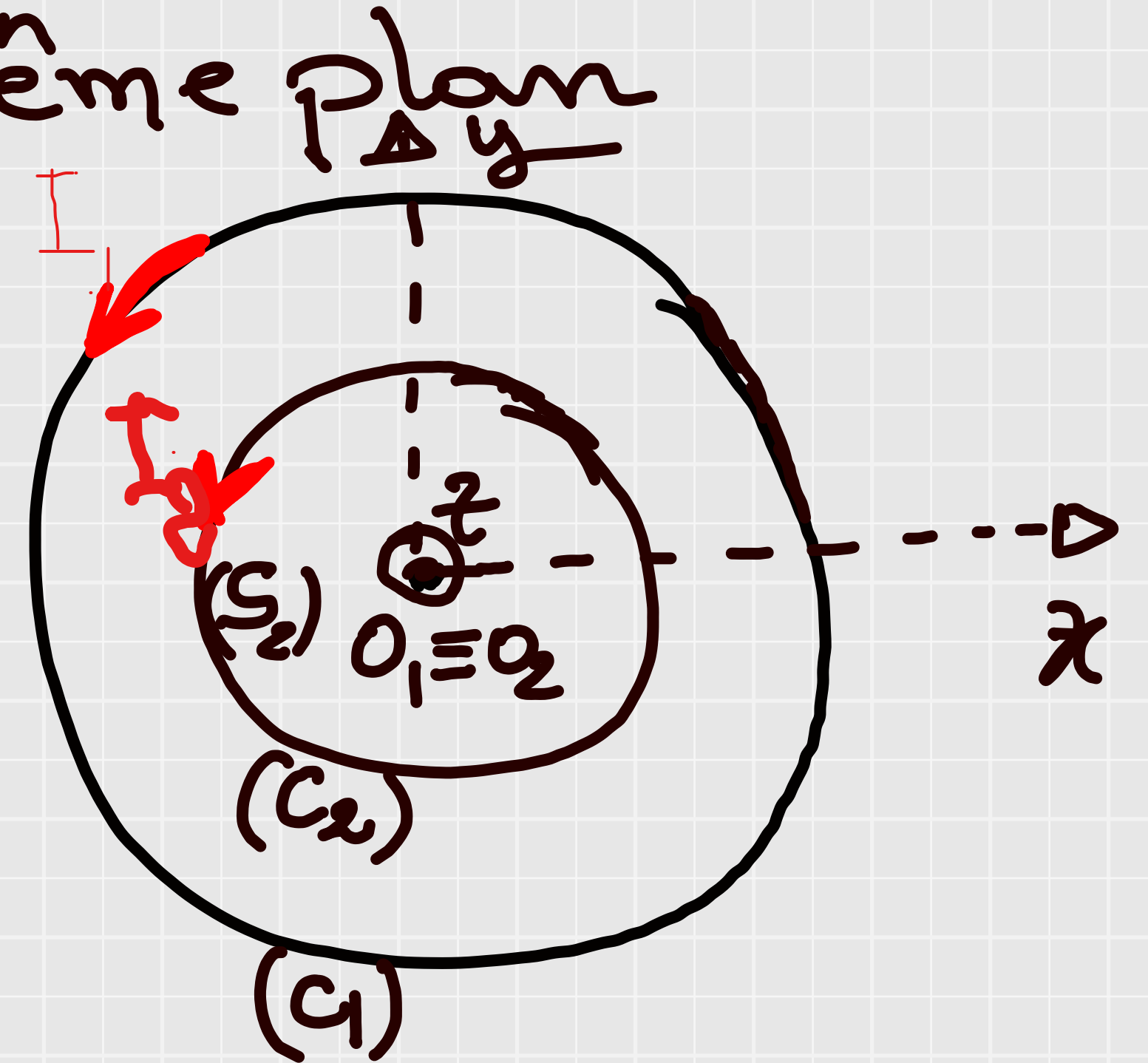


Figure 1



$$\Phi_{1\text{-spire}_2} \approx \iint_{S_2} \vec{B}_1(0) \cdot \vec{n}_2 dS_2$$

/  $S_2$ : surface du disque limité par la spire  $2$   
 du circuit  $(C_2)$  orientée par le courant  
 d'intensité  $I_2$  conformément à la règle  
 du tire-bouchon. Dans le cas de figure 1:  $\vec{n}_2 = \vec{e}_z$

/ On suppose qu'en tout point de la surface  $S_2$   
 le champ  $\vec{B}_1$  créé par  $(C_1)$  est uniforme

$$\vec{B}_1 \approx \mu_0 \frac{N_1 I_1}{2R_1} \vec{e}_z = \vec{B}_1(O_1) \quad O_1 \equiv O_2$$

On aura :  $\Phi_{12} \approx N_2 \left[ \iint_{S_2} \vec{B}_1(O_1) \cdot \vec{n}_2 dS_2 \right]$

$$= N_1 N_2 \frac{\mu_0}{2R_1} \left[ \vec{e}_z \cdot \vec{e}_z \iint_{S_2} dS_2 \right] \vec{I}_1$$

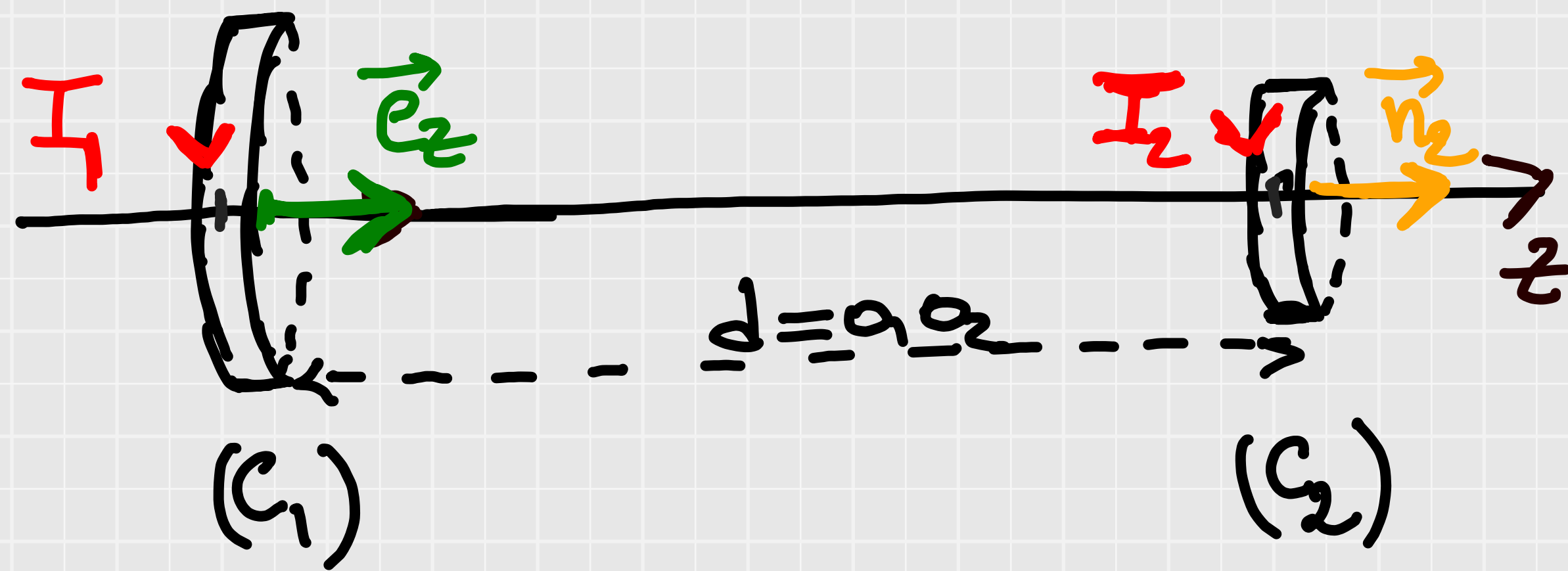
$$= \left[ N_1 N_2 \frac{\mu_0 \pi R_2^2}{2R_1} \right] \vec{I}_1$$

d'où  $M = \frac{\Phi_{12}}{I_1} = N_1 N_2 \frac{\mu_0 \pi R_2^2}{2R_1}$

Si on inverse le sens de  $I$ , ou ce lui de  $I_2$ , on trouve :

$$M = -N_1 N_2 \frac{\mu_0 \pi R_2^2}{2R_1} < 0$$

▣ cas où  $(C_1)$  et  $(C_2)$  sont parallèles et ayant le même axe passant par les centres  $O_1$  et  $O_2$ .  
 soit  $d = O_1 O_2 \gg R_1$  et on a  $R_2 \ll R_1$ .



$$\left\{ \begin{array}{l} M = \frac{\Phi_{12}}{I_1} \\ \Phi_{12} = N_2 \Phi_{1\text{-spire}_2} \\ \Phi_{1\text{-spire}_2} = \iint_{S_2} \vec{B}_1 \cdot \vec{n}_2 dS_2 \end{array} \right.$$



$S_2$ : surface du disque limité par la spirale de  $(C_2)$   
 orientée par  $I_2$  conformément à la règle du  
 tire-bouchon. Dans le cas de la figure 2

$$\vec{n}_2 = \vec{e}_z$$

On suppose qu'en tout point de la surface  $S_2$  le champ  
 $\vec{B}_1$  créé par  $(C_1)$  est uniforme:  $\vec{B}_1(m \in S_2) \approx \vec{B}_1(O_2)$

$$\begin{aligned} \text{d'où } \phi_{1\text{-spire}_2} &\approx \iint_{S_2} \vec{B}_1(O_2) \cdot \vec{n}_2 dS_2 \\ &= N_1 \frac{\mu_0 I_1 R_1^2}{2(R_1^2 + d^2)^{3/2}} \vec{e}_z \cdot \vec{e}_z \iint_{S_2} dS_2 \end{aligned}$$

$$\Phi_{1-\text{sur } C_2} = \left[ N_1 \frac{\mu_0 R_1^2 \pi R_2^2}{2 d^3} \right] \vec{I}_1 \quad d \gg R_1$$

$$\text{d'où : } \Phi_{12} = \left( N_1 N_2 \frac{\mu_0 R_1^2 \pi R_2^2}{2 d^3} \right) \vec{I}_1$$

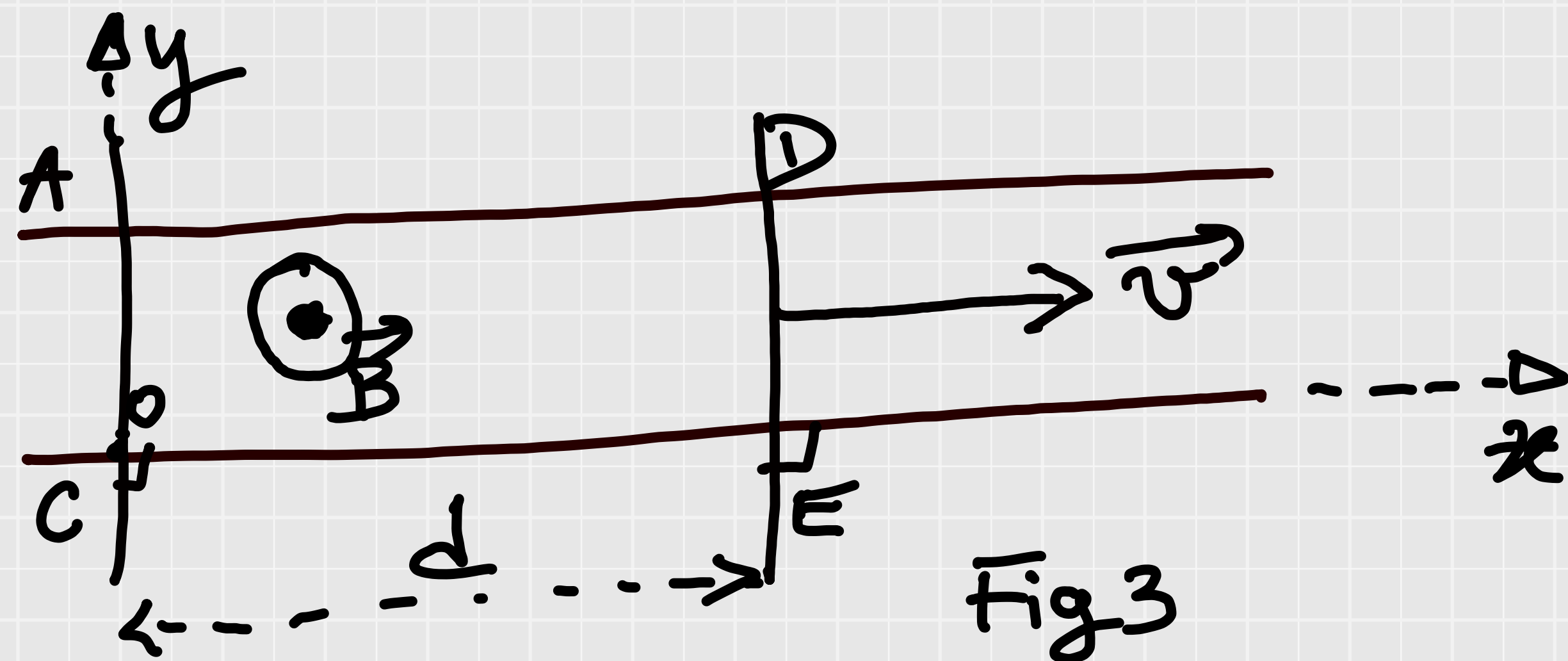
$$\text{et } M = N_1 N_2 \frac{\mu_0 R_1^2 \pi R_2^2}{2 d^3} > 0$$

Si on inverse le sens de  $\vec{I}_1$ , ou celui de  $\vec{I}_2$ ,  $M < 0$

$$M = \ominus N_1 N_2 \frac{\mu_0 R_1^2 \pi R_2^2}{2 d^3}$$

Conclusion:  $M$  dépend de la géométrie de  $(C_1)$  et  $(C_2)$ , de la disposition de l'un l'entre et de leur orientation.

EX2:



Le circuit constitué des deux rails, de la barre AC et la barre DE est placé dans un champ uniforme  $\vec{B} = B_0 \vec{e}_z$   $B_0 = B_0 > 0$

La barre DE est mobile. Elle se déplace sur les rails avec une vitesse  $\vec{v} = v \vec{e}_x$  (Fig 3)

1) Déterminer l'expression du courant induit ind. dans le circuit.





On en déduit la f.e.m induite :

$$\mathcal{E} = -\frac{d\Phi}{dt} = -B_0 l \frac{dx}{dt} = -Blv < 0$$

$$\dot{x} = v = at$$

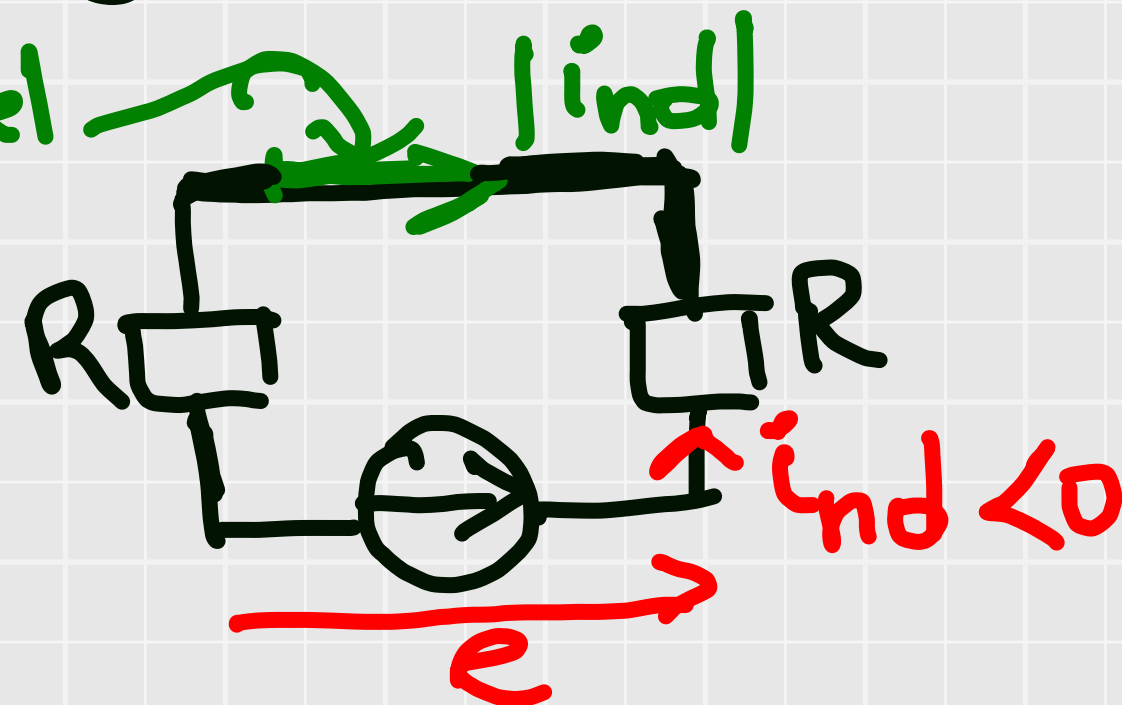
Avec le sens choisi arbitraire :

$$\mathcal{E} = 2R i_{nd} \Rightarrow i_{nd} = \frac{\mathcal{E}}{2R} = -\frac{B_0 l at}{2R} < 0$$

$2R$ , résistance équivalente du circuit.

Le sens réel de  $i_{nd}$  est le sens contraire de celui choisi pour le contour.

Le circuit électrique équivalent :





2) Force de Laplace sur la barre AC :

$$\vec{F}_{AC} = \int_A^C i_{nd} dy (-\vec{e}_y) \wedge \vec{B} = i_{nd} \vec{AC} \wedge \vec{B} = -\frac{B_0 l a t}{2R} l (-\vec{e}_y) \wedge B_0 \vec{e}_z$$

$$\vec{F}_{LAC} = \frac{B_0^2 l^2 a t}{2R} \vec{e}_x$$

Force de Laplace sur la barre ED :

$$\vec{F}_{LED} = i_{nd} \vec{ED} \wedge \vec{B} = -\frac{B_0 l a t}{2R} l \vec{e}_y \wedge B_0 \vec{e}_z = -\frac{B_0^2 l^2 a t}{2R} \vec{e}_x = -\vec{F}_{LAC}$$

La force de Laplace  $\vec{F}_{LED}$  va s'opposer à l'augmentation du flux  $\Phi$ .